

ОБЩАЯ И ФИЗИЧЕСКАЯ ХИМИЯ

УДК 541.11.127

КОНЦЕНТРАЦИОННО-ТЕМПЕРАТУРНЫЕ ПРОФИЛИ  
СТАБИЛИЗИРОВАННОГО ХОЛОДНОГО ПЛАМЕНИ  
АЦЕТАЛЬДЕГИДА С КИСЛОРОДОМ

А. К. АПОЯН, Г. А. АРУТЮНЯН, Г. К. АРЦРУНИ,

М. А. БЕИБУТИЯН и А. Б. НАЛБАНДЯН

Институт химической физики АН Армянской ССР, Ереван

Поступило 15 I 1986

Изучен процесс окисления ацетальдегида в режиме холодного пламени. Получены профили стабильных компонентов, разогрева и интенсивности хемилюминесценции по всей зоне пламени.

Показано, что максимальные скорости образования продуктов, расходования реагентов, а также разогрева наблюдаются в одной и той же области пламени ( $l=1 \text{ см}$ ). Максимальная интенсивность хемилюминесценции наблюдается в начальной зоне пламени ( $l=0 \text{ см}$ ).

Рис. 3, табл. 1, библ. ссылок 14.

При изучении процесса низкотемпературного окисления ацетальдегидов установлено, что основные закономерности и характеристики процесса обусловлены гетерогенно-радикальным распадом перекисных соединений [1—5]. В связи с этим представляет интерес исследование окисления ацетальдегида в режиме холодного пламени, механизм которого к настоящему времени далеко не выяснен. В значительной степени такое положение обусловлено тем, что в предложенных ранее экспериментальных методах исследования холодных пламен углеводородов [6—10] вклад нехимических факторов (большие температурные градиенты, наличие конвективного теплообмена, применение перемешивающих устройств) заметно осложняет количественную интерпретацию полученных результатов.

В настоящей работе поставлена цель определить кинетические характеристики холодного пламени ацетальдегида с кислородом в условиях, в которых роль нехимических факторов сведена к минимуму. Такая постановка задачи позволит, в частности, проводить в дальнейшем математическое моделирование процесса, выявить роль гетерогенных реакций, играющих, как уже отмечено, важную роль в окислении ацетальдегида. Для решения поставленной задачи предложена методика стабилизации и зондирования пламени, ранее опробированная для исследования закономерностей модельного разветвленно-цепного окисления водорода [11, 12].

Опыты проводили на вакуумно-струевой установке, блок-схема которой представлена на рис. 1. Предварительно очищенная и перемешанная эквимолярная смесь ацетальдегида с кислородом через систему ре-

гулировки и измерения параметров струи 1 поступала в обработанную плавиковой кислотой пирексовую трубку 2 с внутренним диаметром 2,8 см, нагреваемую электропечью 3. С обоих торцов реакционного суда вставлены насадки в виде пучка пирексовых капилляров 4 и 4', диаметр которых не превышает 2 мм. Имея набор подобных насадок различной длины, можно совмещать реакционную зону с участком равномерного распределения температуры печи, т. к. в узких пирексовых капиллярах горючая смесь не воспламеняется. Температуру пламени измеряли с помощью подвижных термопар 5' и 5'' (X-Al, 0,2 мм), помещенных по центру и вдоль внутренней стенки реактора. 5' и 5'' дифференциально соединены с термопарой 5'''', помещенной у наружной стенки реактора. Таким образом можно измерять как абсолютные, так и относительные (саморазогревные) аксиальные и радиальные температурные профили пламени. Отметим, что в условиях наших опытов радиальные градиенты не превышали 3—5 градусов. Наряду с температурой измеряли и профили хемилюминесценции пламени. С этой целью на корпусе электропечи проделаны узкие отверстия, которые не нарушают равномерность температурного распределения печи и позволяют с помощью системы кварцевые стекловолоконные световоды 6, фотоэлектронный умножитель 7, усилитель 8, осциллограф 9 регистрировать интенсивность хемилюминесценции. Временное и пространственное постоянство профилей температуры и хемилюминесценции по ходу каждого опыта служат критерием стабильности параметров и характеристик пламени.

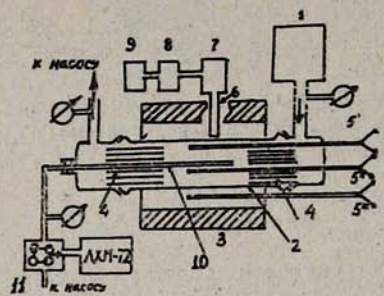


Рис. 1. Блок-схема вакуумно-струевой установки.

Для отбора проб из пламени в центральный капилляр стабилизатора 4 вводим подвижный пробоотборник 10, внутренний и внешний диаметр которого составляют соответственно 1,0 и 1,4 мм. Такие параметры обеспечивают быстрое тушение реакции внутри зонда и лишь незначительно нарушают характеристики пламени [10].

Корректность зондового метода отбора проб для анализа реакционной смеси проверена дополнительными опытами, в которых конец зонда был выведен из зоны пламени в поток исходной смеси, в то время как корпус зонда находился в пламени. Анализ взятой пробы не показал расходования реагентов, что свидетельствовало об отсутствии химических процессов внутри пробоотборника.

Проба газов через систему дозаторов 11 и напуска [13] поступает непосредственно в хроматограф ЛХМ-72 и в специальную ловушку для йодометрического и фотоколориметрического анализа. Условия хроматографического анализа приведены в таблице. Формальдегид анализировался на фотоэлектрическом однолучевом колориметре марки «Spectromet 401». Концентрации надкислоты определяли йодометрически в солянокислой среде мгновенным титрованием [5].

Измерение максимальных разогревов внутри пламени (рис. 2) показало, что с повышением температуры реактора разогревы уменьшаются. Так например, с повышением температуры от 493 до 733 К максимальный разогрев падает примерно в 4 раза.

**Таблица**  
Условия хроматографического анализа  
( $T = 373\text{K}$ , ДТП, газ-носитель  $\text{He}$ ,  $W_{\text{He}} = 28 \text{ мл/мин}$ ).

Адсорбент	Длина колонки, м	Диаметр колонки, м	Анализируемое вещество
Полиэтиленгликольдипинат	2,5	0,004	$\text{CH}_3\text{CHO}$ , $\text{CH}_3\text{OH}$
Цеолит (0,25 – 0,5)	2,5	0,004	$\text{O}_2$ , $\text{CO}$
Полисорб-1	3,0	0,004	$\text{CO}_2$ , $\text{C}_2\text{H}_6$ , $\text{H}_2\text{O}$ , $\text{CH}_3\text{OH}$
Силикагель	2,5	0,004	$\text{C}_2\text{H}_6$ , $\text{CH}_4$

Характерные профили стабильных компонентов представлены на рис. 3. Из сопоставления этих данных следует, что максимумы скорости образования веществ и расходования реагентов совпадают с максимумом скорости повышения температуры пламени. Вместе с тем наблюдается нарушение симметричности между температурным, концентрационными профилями и профилем интенсивности хемилюминесценции (рис. 3).

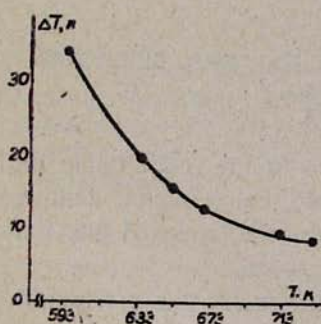


Рис. 2. Профиль разогрева реакционной смеси в зависимости от температуры проведения опытов.  $\text{CH}_3\text{CHO} : \text{O}_2 = 1 : 1$ ,  $P = 50 \text{ torr}$ , средняя по сечению скорость струи — 7,5 см/с.

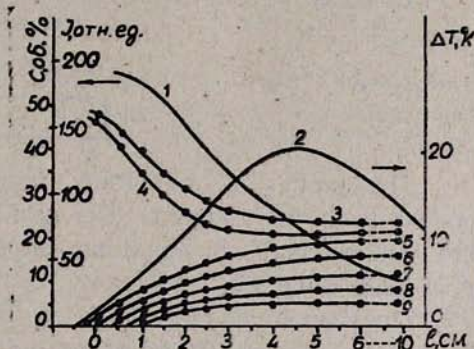


Рис. 3. Профили интенсивности хемилюминесценции, температуры и концентрации стабильных компонентов холодного пламени.  $T=633\text{K}$ ,  $P=50 \text{ torr}$ ,  $\text{CH}_3\text{CHO} : \text{O}_2 = 1 : 1$ . 1 — интенсивность хемилюминесценции, 2 — саморазогрев пламени, 3 —  $\text{O}_2$ , 4 —  $\text{CH}_3\text{CHO}$ , 5 —  $\text{CO}$ , 6 —  $\text{H}_2\text{O}$ , 7 —  $\text{CH}_3\text{OH}$ , 8 —  $\text{CO}_2$ , 9 — интенсивность  $\text{CO}_2$ .

Основными продуктами реакции являются  $\text{CO}$ ,  $\text{H}_2\text{O}$ ,  $\text{CO}_2$ ,  $\text{CH}_3\text{OH}$ ,  $\text{CH}_2\text{O}$ . Обнаружены также следы (0,5%) уксусной и надуксусной кислот. Как видно из рис. 3, при  $l=4 \text{ см}$  кинетические кривые всех продуктов выходят на плато. Одновременно наблюдается достижение ма-

ксимального разогрева смеси. Максимальная концентрация  $\text{CH}_2\text{O}$  в пламени достигает 6%.  $\text{H}_2\text{O}_2$  не обнаружена. Баланс по продуктам сходит с точностью до 1%. В отличие от [14] в наших опытах наряду с  $\text{CH}_4$  обнаружен также  $\text{C}_2\text{H}_6$ . Оба продукта образуются в незначительных количествах (до 1%). Отметим также, что максимальные количества образующейся окиси углерода в два раза превышают  $\text{CO}_2$  (рис. 3).

Авторы выражают благодарность А. Г. Гаспаряну и С. Оганяну за помощь при конструировании экспериментальной установки.

Թ-ԹՎԱՄՆԻ ՀԵՏ ԱՅԵՏԱԼԴԵՀԻԴԻ ԿԱՅՈՒԱՑՎԱԾ ՍՍ.Ա-Ը ԲՈՑԻ  
ԿՈՆՑԵՆՏՐԱՑԻՈՆ-ԶԵՐՄԱՍԻՃԱՆԱՅԻՆ ՊՐՈՅԵԼՆԵՐԸ

Ա. Կ. ԱՓՈՅԱՆ, Գ. Ա. ՀԱՐԴԻՔՈՒՅԱՆ, Գ. Կ. ԱՐՏՌՈՒՆԻ,

Մ. Հ. ԲԵՅԲՈՒՅԹՈՅԱՆ և Ա. Բ. ՆԱԼԲԱՆԴՅԱՆ

Ուսումնասիրված է ացետալդեհիդի օքսիդացման պրոցեսը սառը բոցի տիրույթում: Ստացված են կայուն բաղադրիչների, ներտաքացման և քեմիլումինսցիսիայի բաշխման կորերը բոցի ամբողջ տիրույթում:

Ցույց է տրված, որ արգասիքների առաջացման, ուսագենաների ժախսման, ինչպես նաև ներտաքացման առավելագույն արագույթյունները դիտվում են բոցի մինույն տիրույթում ( $l = 1 \text{ cm}$ ): Քեմիլումինսցիսիայի առավելագույն ինտենսիվությունը դիտվում է բոցի սկզբնական տիրույթում:

## THE ACETALDEHYDE CONCENTRATION TEMPERATURE PROFILES OF STABILIZED COOL FLAME OF ACETALDEHYDE WITH OXIGEN.

A. K. APOYAN, G. A. ARUTJUNIAN, G. K. ARTSRUNI, M. A. BEYBUTIAN  
and A. B. NALBANDYAN

The process of oxidation of acetaldehyde in the cool flame regime has been investigated. The profiles of stable components, temperature and intensity of chemiluminescence all over the zone of the flame have been obtained.

The maximum rate of the formation of products, the consumption of reagents and self-heating are being observed in the same region of flame ( $l = 1 \text{ cm}$ ).

The maximum intensity of chemiluminescence takes place in the initial zone of flame ( $l = 0 \text{ cm}$ ).

### Л И Т Е Р А Т У Р А

1. Налбандян А. Б., Манташян А. А. — Элементарные процессы в медленных газофазных реакциях. Ереван, АН Арм. ССР, 1975.
2. Арутюнян А. А., Налбандян А. Б. — ДАН СССР, 1981, т. 256, № 5, с. 1145.
3. Арутюнян А. А., Арутюнян Г. А., Демирчян М. П., Налбандян А. Б. — Арм. хим. ж., 1983, т. 36, № 1, с. 59.
4. Варданян И. А. — Гетерогенное разветвление гомогенных цепей в процессах газофазного окисления органических соединений. Дисс. на соиск. уч. ст. доктора хим. наук, Ереван, 1980.

5. Аричунис Г. К.—Роль гетерогенных факторов в предхолодноламенном окислении ацетальдегида. Дисс. на соиск. уч. ст. канд. хим. наук, Ереван, 1985.
6. Pauwels J. F., Carlier M., Sochet L. R.—Phys. Chem. 1982, № 86, p. 4330.
7. Gray B. F., Jones J. C.—Comb. and Flame, 1984, № 57, p. 3.
8. Погосян М. Дж., Гукасян П. С., Манташян А. А.—Арм. хим. ж., 1982, т. 35, № 5, с. 288.
9. Манташян А. А., Погосян М. Дж., Гукасян П. С.—Арм. хим. ж., 1980, т. 33, № 1, с. 82.
10. Фристром, Вестенберг—Структура пламени. М., Металлургиздат, 1969.
11. Арутюнян Г. А.—Закономерности некоторых разреженных пламен и нестационарное состояние контактирующей поверхности. Дисс. на соиск. уч. ст. канд. хим. наук, Ереван, 1980.
12. Азатян В. В., Арутюнян Г. А.—ДАН СССР, 1978, т. 238, № 1, с. 119.
13. Столяров Б. В., Савинов И. М., Витенберг А. Г.—Руководство к практическим работам по газовой хроматографии. Л., Химия, 1978.
14. Bradley J. N., Jones G. A., Shirrow G., Tipper—Tenth, Symposium on Combustion, 1965, p. 139.

*Армянский химический журнал, т. 40, № 2, стр. 81—92 (1987 г.)*

УДК 541.124.7

## ИЗБИРАТЕЛЬНОЕ ИНГИБИРОВАНИЕ И ИНИЦИРОВАНИЕ МНОГОЦЕНТРОВЫХ НЕРАЗВЕТВЛЕННЫХ ЦЕПНЫХ РЕАКЦИЙ

Л. А. ТАВАДЯН

Институт химической физики АН Армянской ССР, Ереван

Поступило 9 VII 1986

Рассмотрена формальная кинетика многоцентровых неразветвленных цепных реакций и определены условия их избирательного ингибиования и инициирования. Определены условия избирательного ингибиования реакций жидкофазного окисления  $\alpha$ -метилакролеина.

Библ. ссылок 6.

Повышение селективности химических реакций, в частности, цепных реакций окисления органических соединений, является одной из важных задач химии и химической технологии [1]. Очень часто в цепном процессе участвуют несколько активных центров—радикалов, и низкая селективность по целевому продукту обусловлена маршрутами реакций, приводящих к образованию побочных продуктов.

Для повышения селективности данных реакций в работах [2—4] на примерах совместного окисления альдегидов и олефинов и окисления непредельных альдегидов предложен принцип избирательного ингибиования нежелательного направления реакций введением небольших добавок ингибитора. В работах [2—4] показано, что условиями, обеспечивающими избирательное ингибиование в вышеуказанных реакциях, являются: 1) отсутствие реакции превращения полипероксильных радикалов, ответственных за образование нежелательных продуктов, в ацилпероксильные, приводящие к образованию целевых продуктов; 2) избирательная реакция ингибитора с радикалом, ответственным за понижение селективности химической реакции.